

1. *Механика контактных взаимодействий* / Под ред. И. И. Воровича, В. М. Александрова. – Москва: Физматгиз, 2001. – 670 с.
2. *Горшков А. Г., Тарлаковский Д. В.* Динамические контактные задачи с подвижными границами. – Москва: Наука, Физматгиз, 1995. – 352 с.
3. *Гузь А. Н., Кубенко В. Д., Черевко М. А.* Дифракция упругих волн. – Киев: Наук. думка, 1978. – 308 с.
4. *Диткин В. А., Прудников А. П.* Интегральные преобразования и операционное исчисление. – Москва: ГИФМЛ, 1961. – 524 с.
5. *Кубенко В. Д.* Удар затупленных тел о поверхность жидкости или упругой среды // Прикл. мех. – 2004. – 40, № 11. – С. 3–44.
6. *Кубенко В. Д., Марченко Т. А.* Осесимметричная задача соударения двух одинаковых тел вращения // Там же. – № 7. – С. 70–80.
7. *Кубенко В. Д., Марченко Т. А., Старовойтов Э. И.* Об определении напряженного состояния плоского упругого слоя при ударе тупым жестким телом о его поверхность // Доп. НАН України. – 2006. – № 8. – С. 47–56.
8. *Снеддон И. Н., Берри Д. С.* Классическая теория упругости. – Москва: ГИФМЛ, 1961. – 220 с.

*Институт механики им. С. П. Тимошенко
НАН Украины, Киев*

Поступило в редакцию 20.07.2006

УДК 539.3

© 2007

П. С. Ковальчук, Л. А. Крук

Анализ нелинейного взаимодействия изгибных форм композитных цилиндрических оболочек, заполненных жидкостью

(Представлено академиком НАН Украины В. Д. Кубенко)

The problem of the particularities of a multimode nonlinear deformation of the orthotropic cylindrical shells filled by a liquid on their free vibrations is considered. The main attention is paid to the analysis of the interaction of different forms (the modes) of a carrying shell on the realization of internal resonances.

Проблеме нелинейных колебаний тонких цилиндрических оболочек с учетом взаимодействия различных изгибных форм посвящены работы [1, 2 и др.]. В [3, 4] исследованы особенности влияния жидкостного заполнителя (частичное заполнение) на процессы динамического взаимодействия форм несущих оболочек.

В данной работе рассматривается задача о многомодовых нелинейных колебаниях композитных цилиндрических оболочек (ортотропная модель), полностью заполненных жидкостью. Главное внимание уделяется изучению специфики взаимодействия в условиях резонансов сопряженных и несопряженных изгибных форм этих оболочек при свободных колебаниях совокупной системы оболочка — жидкость.

1. Исходные динамические уравнения оболочки, несущей жидкость, выберем в смешанной форме [5, 6]

$$\begin{aligned} \frac{1}{h} \left[D_{11} \frac{\partial^4 w}{\partial x^4} + 2(D_{12} + 2D_{66}) \frac{\partial^4 w}{\partial x^2 \partial y^2} + D_{22} \frac{\partial^4 w}{\partial y^4} \right] &= L(w, \Phi) + \frac{1}{R} \frac{\partial^2 \Phi}{\partial x^2} - \frac{P_h}{h} - \rho \frac{\partial^2 w}{\partial t^2}; \\ A_{22} \frac{\partial^4 \Phi}{\partial x^4} + (A_{66} + 2A_{12}) \frac{\partial^4 \Phi}{\partial x^2 \partial y^2} + A_{11} \frac{\partial^4 \Phi}{\partial y^4} &= -\frac{1}{2} L(w, w) - \frac{1}{R} \frac{\partial^2 w}{\partial x^2}. \end{aligned} \quad (1)$$

Здесь w — радиальный прогиб; D_{jk} — жесткостные параметры оболочки, причем

$$D_{ii} = \frac{E_i h^3}{12(1 - \mu_1 \mu_2)} \quad (i = 1, 2); \quad D_{66} = \frac{G h^3}{12}; \quad D_{12} = D_{11} \mu_2; \quad (2)$$

A_{jk} — компоненты матрицы податливости ортотропного материала

$$A_{ii} = \frac{1}{E_i} \quad (i = 1, 2); \quad A_{12} = -A_{11} \mu_1; \quad A_{66} = \frac{1}{G}; \quad E_1 \mu_2 = E_2 \mu_1; \quad (3)$$

P_h — гидродинамическое давление на оболочку со стороны жидкости; остальные обозначения — общепринятые.

Динамический прогиб оболочки w с учетом различных форм аппроксимируем разложением [2]

$$\begin{aligned} w &= f_1(t) \cos s_1 y \sin \lambda x + f_2(t) \sin s_1 y \sin \lambda x + f_3(t) \cos s_2 y \sin \lambda x + \\ &+ f_4(t) \sin s_2 y \sin \lambda x + f_5(t) \sin^4 \lambda x, \end{aligned} \quad (4)$$

удовлетворяющим условиям свободного опирания на торцах. Здесь $s_k = n_k/R$ ($k = 1, 2$), $\lambda = m\pi/l$ — параметры волнообразования в окружном и продольном направлениях соответственно (l — длина оболочки); $f_k(t)$ — некоторые функции времени. Давление жидкости P_h определим из соотношения [6] $P_h = -\rho_0 \partial \varphi / \partial t$, где ρ_0 — плотность жидкости; $\varphi = \varphi(x, r, \theta, t)$ — потенциал скоростей, который находим, решая краевую задачу [3, 7],

$$\Delta \varphi = 0; \quad \left. \frac{\partial \varphi}{\partial r} \right|_{r=0} < \infty; \quad \left. \frac{\partial \varphi}{\partial r} \right|_{r=R} = -\frac{\partial w}{\partial t}; \quad \varphi|_{x=0} = \varphi|_{x=l} = 0 \quad (5)$$

(x, r, θ — цилиндрические координаты).

Подставляя функцию прогиба w (4) и функцию давления P_h в (1) и реализуя известную процедуру метода Бубнова–Галеркина, получим систему уравнений для нахождения неизвестных обобщенных перемещений f_k ($k = \overline{1, 5}$)

$$\begin{aligned} \ddot{f}_j + \omega_j^2 f_j + k_{j1}(f_1^2 + f_2^2) f_j + k_{j2}(f_3^2 + f_4^2) f_j + k_{j3} f_5 f_j + k_{j4} f_5^2 f_j &= 0; \\ \ddot{f}_5 + \omega_5^2 f_5 + k_{51}(f_1^2 + f_2^2) + k_{52}(f_3^2 + f_4^2) + k_{53}(f_1^2 + f_2^2) f_5 + k_{54}(f_3^2 + f_4^2) f_5 &= 0. \end{aligned} \quad (6)$$

Здесь $j = \overline{1, 4}$; ω_j — собственные частоты оболочки, причем

$$\begin{aligned} \omega_1^2 = \omega_2^2 &= \frac{1}{\rho m_{01}} \left(\frac{1}{h} \Delta_D(\lambda, s_1) + \frac{\lambda^4}{R^2 \Delta_\delta(\lambda, s_1)} \right); \\ \omega_3^2 = \omega_4^2 &= \frac{1}{\rho m_{02}} \left(\frac{1}{h} \Delta_D(\lambda, s_2) + \frac{\lambda^4}{R^2 \Delta_\delta(\lambda, s_2)} \right); \\ m_{0p} &= 1 + \frac{\rho_0}{\rho} \frac{I_{n_p}(\lambda R)}{\lambda R I'_{n_p}(\lambda R)}, \end{aligned} \quad (7)$$

где Δ_D, Δ_δ — операторы вида

$$\begin{aligned}\Delta_D(\lambda, s_p) &= D_{11}\lambda^4 + 2(D_{12} + 2D_{66})\lambda^2 s_p^2 + D_{22}s_p^2; \\ \Delta_\delta(\lambda, s_p) &= \delta_2\lambda^4 + 2\delta_3\lambda^2 s_p^2 + \delta_1 s_p^4\end{aligned}\quad (8)$$

($p = 1, 2$; $\delta_{1,2} = 1/E_{1,2}$; $2\delta_3 = 1/G - 2\mu_1/E_1$), частота ω_5 отвечает осесимметричной форме колебаний

$$\omega_5^2 = \frac{64}{35\rho m_{05}} \left(\frac{8D_{11}\lambda^4}{h} + \frac{35}{64R^2\delta_2} \right) \quad (9)$$

(m_{05} — параметр присоединенной массы; k_{rq} ($r = \overline{1,5}, q = \overline{1,4}$) — постоянные коэффициенты, характеризующие геометрическую нелинейность оболочки).

Уравнения (6) являются исходными для исследования особенностей взаимодействия как сопряженных (с одними и теми же параметрами волнообразования), так и несопряженных (с различными параметрами s_1, s_2) форм деформирования оболочек, заполненных жидкостью.

2. Эффекты взаимодействия форм оболочек наиболее существенно будут проявляться при реализации в системе (6) внутренних резонансов вида $\omega_1 \approx k\omega_3$, $k = 1, 2, 1/2$ [1, 8]. Строго эти резонансы будут выполняться при равенстве

$$c_0(\xi)\eta^3 + c_1(\xi)\eta^2 + c_2(\xi)\eta + c_3(\xi) = 0, \quad (10)$$

полученном на основании (7). Здесь обозначено

$$\begin{aligned}\xi &= \frac{l}{R}; & \eta &= \frac{h}{R}; & c_0(\xi) &= M_1 - M_2 k^2; & c_1(\xi) &= M_1 \beta_2 - M_2 \beta_1 k^2; \\ c_2(\xi) &= M_0(C_2 - C_1 k^2); & c_3(\xi) &= M_0(C_2 \beta_2 - C_1 k^2 \beta_1); \\ M_{1,2} &= n_{1,2}^4 + k_1 \left(\frac{m\pi}{\xi} \right)^4 + k_2 \left(\frac{m\pi}{\xi} \right)^2 n_{1,2}^2; \\ C_{1,2} &= n_{1,2}^4 + k_1 \left(\frac{m\pi}{\xi} \right)^4 + k_3 \left(\frac{m\pi}{\xi} \right)^2 n_{1,2}^2; & M_0 &= \frac{12(1 - \mu_1 \mu_2) k_1 (m\pi)^4}{C_1 C_2 \xi^4}; \\ k_1 &= \frac{E_1}{E_2}; & k_2 &= 2 \left(\mu_2 k_1 + \frac{2(1 - \mu_1 \mu_2)}{k_4} \right); & k_3 &= k_4 - \frac{2\mu_1}{k_1}; & k_4 &= \frac{E_2}{G}; \\ \beta_{1,2} &= \frac{\rho_0}{\rho} \frac{I_{n_{1,2}} \left(\frac{m\pi}{\xi} \right)}{m\pi I'_{n_{1,2}} \left(\frac{m\pi}{\xi} \right)}.\end{aligned}\quad (11)$$

В качестве иллюстрации на рис. 1 показаны графические зависимости $\eta = \eta(\xi)$, построенные на основании уравнения (10) при $m = 1$; $k = 1$; $k_1 = 1,75$; $k_2 = 1,054$; $k_3 = 10,1$; $k_4 = 5,08$; $\mu_1 = 0,2$; $\mu_2 = 0,114$; $\rho = 1,65\rho_0$. Сплошные кривые соответствуют заполненной жидкостью оболочке ($\rho_0 = 1 \cdot 10^3$ кг/м³), штриховые — этой же оболочке без жидкости.

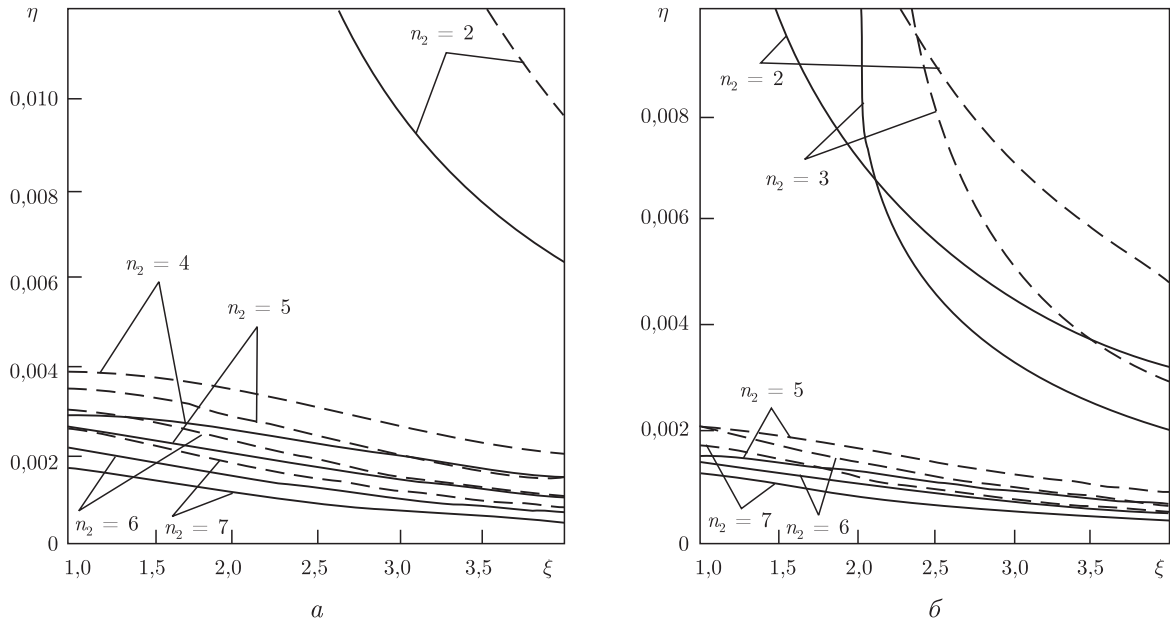


Рис. 1

Из полученных графиков следует, что практически каждая ортотропная оболочка с жидкостью или без нее может иметь близкие собственные частоты (при определенных геометрических размерах). При этом вероятность выполнения рассматриваемого основного внутреннего резонанса $\omega_1 \approx \omega_3$ значительно выше для оболочек, полностью заполненных жидкостью. Это обусловлено тем, что наличие жидкости не только “способствует” существенно уменьшению собственных частот этой оболочки (как показали вычисления, в 2–4 раза), но и обуславливает “сгущение” ее частотного спектра в зоне низких частот (по сравнению со случаем, когда жидкость в ней отсутствует).

При наличии в системе (6) внутреннего резонанса $\omega_1 \approx \omega_3$ ее решение в соответствии с [9] и с учетом условия $f_5 \ll f_k$ ($k = \overline{1, 4}$) [1, 10] можно в первом приближении представить в виде

$$\begin{aligned}
 f_1 &= u_1 \cos \omega t + u_2 \sin \omega t; & f_2 &= u_3 \cos \omega t + u_4 \sin \omega t; \\
 f_3 &= u_5 \cos \omega t + u_6 \sin \omega t; & f_4 &= u_7 \cos \omega t + u_8 \sin \omega t; \\
 f_5 &= -\frac{1}{\omega_5^2} [k_{51}(f_1^2 + f_2^2) + k_{52}(f_3^2 + f_4^2)]; & \omega &= \sqrt{\frac{\omega_1^2 + \omega_3^2}{2}}.
 \end{aligned} \tag{12}$$

При этом неизвестные функции u_k должны быть определены из системы связанных уравнений (при учете нелинейностей до третьей степени включительно)

$$\begin{aligned}
 \frac{du_1}{d\tau} &= M_1 u_2 + T_2 K_1 u_3 + T_3 K_2 u_5 + T_3 K_3 u_7; \\
 \frac{du_2}{d\tau} &= -M_1 u_1 + T_2 K_1 u_4 + T_3 K_2 u_6 + T_3 K_3 u_8; \\
 \frac{du_3}{d\tau} &= M_1 u_4 - T_2 K_1 u_1 + T_3 K_4 u_5 + T_3 K_5 u_7;
 \end{aligned}$$

$$\begin{aligned}
\frac{du_4}{d\tau} &= -M_1 u_3 - T_2 K_1 u_2 + T_3 K_4 u_6 + T_3 K_5 u_8; \\
\frac{du_5}{d\tau} &= M_2 u_6 + T_5 K_6 u_7 - T_6 K_2 u_1 - T_6 K_4 u_3; \\
\frac{du_6}{d\tau} &= -M_2 u_5 + T_5 K_6 u_8 - T_6 K_2 u_2 - T_6 K_4 u_4; \\
\frac{du_7}{d\tau} &= M_2 u_8 - T_5 K_6 u_5 - T_6 K_3 u_1 - T_6 K_5 u_3; \\
\frac{du_8}{d\tau} &= -M_2 u_7 - T_5 K_6 u_6 - T_6 K_3 u_2 - T_6 K_5 u_4.
\end{aligned} \tag{13}$$

Здесь введено “медленное время” $\tau = t/(2\omega)$ и обозначено

$$\begin{aligned}
M_1 &= \Delta_1 + T_1 A_1^2 + \overline{T_1} A_2^2; & M_2 &= \Delta_2 + T_4 A_2^2 + \overline{T_4} A_1^2; \\
K_1 &= u_1 u_4 - u_2 u_3; & K_2 &= u_1 u_6 - u_2 u_5; & K_3 &= u_1 u_8 - u_2 u_7; \\
K_4 &= u_3 u_6 - u_4 u_5; & K_5 &= u_3 u_8 - u_4 u_7; & K_6 &= u_5 u_8 - u_6 u_7; \\
A_1^2 &= \frac{1}{2} \sum_{k=1}^4 u_k^2; & A_2^2 &= \frac{1}{2} \sum_{i=5}^8 u_i^2; & \Delta_1 &= \omega_1^2 - \omega^2; & \Delta_2 &= \omega_2^2 - \omega^2; \\
T_1 &= 3T_2 = \frac{3\gamma_1}{2}; & T_3 &= \frac{\overline{T_1}}{3} = \frac{\gamma_2}{3}; & T_4 &= 3T_5 = \frac{3\gamma_3}{2}; & T_6 &= \frac{\overline{T_4}}{3} = \frac{\gamma_4}{2}.
\end{aligned} \tag{14}$$

Постоянные коэффициенты γ_1 – γ_4 выражаются так:

$$\begin{aligned}
\gamma_1 &= k_{11} - \frac{k_{13} k_{51}}{\omega_5^2}; & \gamma_2 &= k_{12} - \frac{k_{13} k_{52}}{\omega_5^2}; \\
\gamma_3 &= k_{22} - \frac{k_{23} k_{52}}{\omega_5^2}; & \gamma_4 &= k_{21} - \frac{k_{23} k_{51}}{\omega_5^2}.
\end{aligned} \tag{15}$$

3. Умножая поочередно каждое из уравнений (13) на u_1, u_2, \dots, u_8 соответственно и суммируя затем все эти уравнения, можно получить интеграл вида

$$\frac{u_1^2 + u_2^2 + u_3^2 + u_4^2}{\gamma_2} + \frac{u_5^2 + u_6^2 + u_7^2 + u_8^2}{\gamma_4} = C_0, \tag{16}$$

где C_0 — постоянная интегрирования. Из него следует, что приданная в начальный момент времени $\tau = \tau_0$ несущей оболочке энергия будет впоследствии (при $\tau > \tau_0$) перераспределяться между всеми ее обобщенными координатами f_k ($k = \overline{1, 4}$). Увеличение в процессе колебаний одной из амплитуд u_k будет сопровождаться соответствующим уменьшением других амплитуд u_i ($i \neq k$), и наоборот.

Два других интеграла системы (13) имеют вид

$$K_1 = u_1 u_4 - u_2 u_3 = C_1; \quad K_6 = u_5 u_8 - u_6 u_7 = C_2 \quad (C_{1,2} = \text{const}). \tag{17}$$

Первый из них описывает особенности энергообмена между сопряженными формами $\cos s_1 y \sin \lambda x$ и $\sin s_1 y \sin \lambda x$, второй — между формами $\cos s_2 y \sin \lambda x$ и $\sin s_2 y \sin \lambda x$. Нетрудно показать, что если начальные условия $u_k = u_k(0)$ ($k = \overline{1, 4}$) подобраны так, что

$C_1 = 0$, то наложение сопряженных форм $\cos s_1 y \sin \lambda x$ и $\sin s_1 y \sin \lambda x$ обусловит деформирование оболочки по типу стоячая волна [1, 2]. Такой же результат будет иметь место и при $C_2 = 0$. В противном случае (при $C_1 \neq 0$ или $C_2 \neq 0$) взаимодействие и наложение каждой из пар сопряженных форм приведет к реализации бегущей, распространяющейся в окружном направлении, изгибной волны.

Представленные выше интегралы позволяют понизить порядок системы (13), из которой получаем еще один, более общий, интеграл вида

$$T_3(K_2^2 + K_3^2 + K_4^2 + K_5^2) + N_1 A_1^2 + N_2 A_1^4 = C_3 = \text{const.} \quad (18)$$

Здесь обозначено

$$N_1 = \frac{4T_3}{\gamma_2}(\Delta_0 + 2T_6 C_0(T_4 - 3T_3)); \quad (19)$$

$$N_2 = \frac{4T_3}{\gamma_2^2}(3T_3(3T_6 - T_1) + T_6(3T_3 - T_4)); \quad \Delta_0 = \omega_1^2 - \omega_2^2.$$

Этот интеграл, в отличие от (16) и (17), описывает энергетическую связанность при колебаниях системы оболочка — жидкость между амплитудным параметром колебаний A_1 , с одной стороны, и фазовыми сдвигами всех обобщенных координат f_k ($k = \overline{1, 4}$) — с другой. Эти сдвиги определяются функциями времени K_1, K_2, K_3, K_4 . Физически они становятся наглядными, если решение исходных уравнений (6) представить в традиционной форме [9]

$$f_k = a_k \cos(\omega t + \vartheta_k) \quad (20)$$

с использованием в качестве неизвестных величин амплитуд a_k и фаз ϑ_k .

Таким образом, получен ряд аналитических соотношений, на основании которых могут быть исследованы основные закономерности многомодовых колебаний заполненных жидкостью композитных оболочек, имеющих близкие собственные частоты. Аналогичные соотношения могут быть получены и в случае кратных частот, когда $\omega_1 \approx 2\omega_3$ или $\omega_1 \approx \omega_3/2$.

4. Рассмотрим численный пример. Пусть заполненная водой ($\rho_0 = 1 \cdot 10^3$ кг/м³) оболочка характеризуется параметрами

$$E_1 = 2,15 \cdot 10^9 \text{ Па}; \quad E_2 = 1,23 \cdot 10^9 \text{ Па}; \quad G = 0,21 \cdot 10^9; \quad \mu_1 = 0,19; \quad (21)$$

$$\rho = 1,65\rho_0; \quad \frac{h}{R} = 3,125 \cdot 10^{-3}; \quad \frac{l}{R} = 2,495; \quad R = 0,16 \text{ м.}$$

Эта оболочка будет иметь две близкие собственные частоты (ω_1 и ω_3), отвечающие формам с волновыми параметрами $m = 1, n_1 = 5$ и $m = 1, n_2 = 7$; $\omega_1 = 60,42$ рад/с; $\omega_3 = 59,58$ рад/с.

На рис. 2 приведены типичные, полученные путем численного интегрирования уравнений (13) при различных начальных условиях для $u_k(\tau)$ ($0 \leq \tau \leq 2\pi/\omega$), фазовые траектории колебательных процессов, характеризующие специфику энергообмена между модами оболочки, которым отвечают частоты ω_1 и ω_3 . Здесь обозначено $\overline{A}_i = A_i/h, \dot{\overline{A}}_i = \dot{A}_i/h$ ($i = 1, 2$). Траектории 1 и 2 характеризуют соответственно зависимости $\overline{A}_1 = \overline{A}_1(\overline{A}_1)$ и $\overline{A}_2 = \overline{A}_2(\overline{A}_2)$. Рис. 2, а построен при $K_1(0) = K_6(0) = 0$; рис. 2, б — при $K_1(0) = 0, K_6(0) = 3/4 \cdot h^2$; рис. 2, в — при $K_1(0) = 3/4 \cdot h^2, K_6(0) = 0$; рис. 2, г — при $K_1(0) = K_6(0) = 3/4 \cdot h^2$.

Качественно иным будет характер взаимодействия форм для заполненной жидкостью ортотропной оболочки при отсутствии внутренних резонансов. В этом случае уравнения

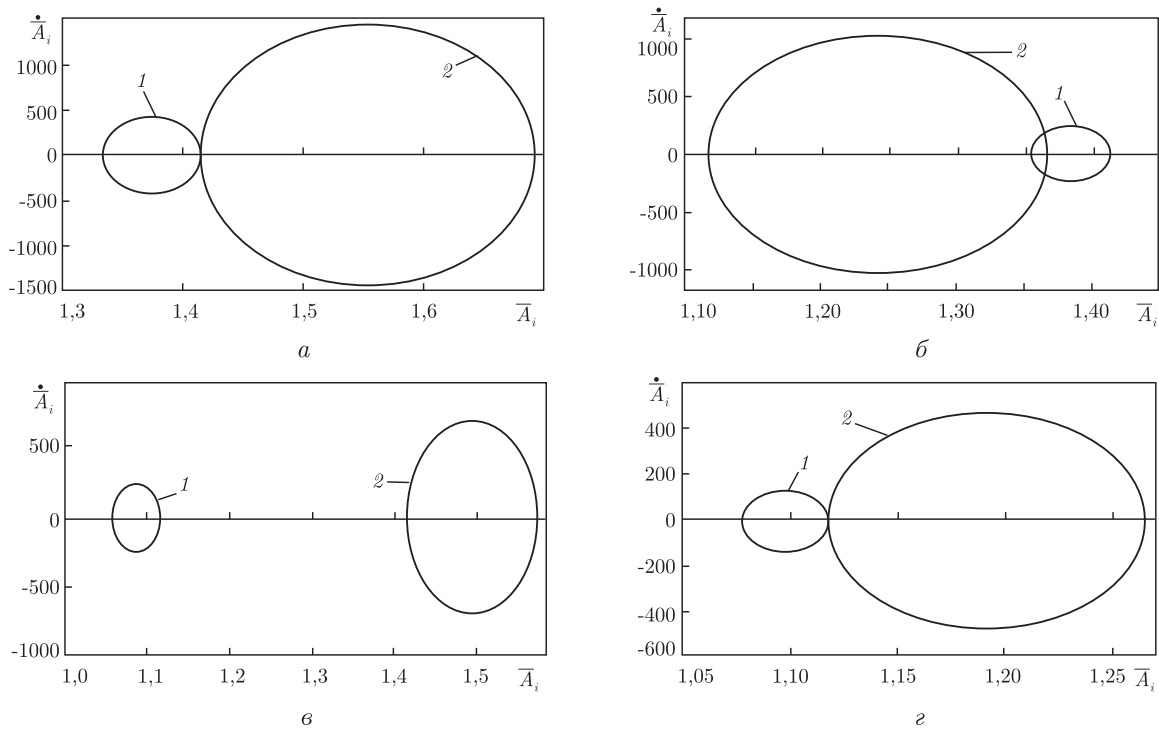


Рис. 2

для определения функций u_1-u_4 не будут связаны с уравнениями для определения функций u_5-u_8 , поскольку в системе (13) постоянные параметры $T_3 = T_6 = \overline{T}_1 = \overline{T}_4 = 0$. Фазовые траектории $\dot{A}_1(A_1)$ не будут зависеть от фазовых траекторий $\dot{A}_2(A_2)$.

Работа выполнена при частичной финансовой поддержке ГФФИ Министерства образования и науки Украины (проект Ф10/36-2005).

1. Кубенко В. Д., Ковальчук П. С., Краснополяская Т. С. Нелинейное взаимодействие форм изгибных колебаний цилиндрических оболочек. – Киев: Наук. думка, 1984. – 220 с.
2. Kubenko V. D., Kovalchuk P. S., Kruk L. A. Non-linear interaction of bending deformations of free oscillating cylindrical shells // J. of Sound and Vibration. – 2003. – **265**. – P. 245–268.
3. Кубенко В. Д., Ковальчук П. С., Бояршина Л. Г. и др. Нелинейная динамика осесимметричных тел, несущих жидкость. – Киев: Наук. думка, 1992. – 184 с.
4. Ковальчук П. С., Крук Л. А. О нелинейном энергообмене между собственными формами круговых цилиндрических оболочек, заполненных жидкостью, при их свободных колебаниях // Прикл. мех. – 2000. – **36**, № 1. – С. 115–122.
5. Амбарцумян С. А. Общая теория анизотропных оболочек. – Москва: Наука, 1974. – 448 с.
6. Вольмир А. С. Оболочки в потоке жидкости и газа. Задачи гидроупругости. – Москва: Наука, 1979. – 320 с.
7. Atabili M., Pellicano F., Vakakis A. F. Nonlinear vibrations and multiple resonances of fluid-filled circular cylindrical shells. Part 1: Equations of motion and numerical results // J. of Vibration and Acoustics. – 2000. – **122**. – P. 346–354.
8. Кубенко В. Д., Ковальчук П. С., Крук Л. А. О многомодовых нелинейных колебаниях цилиндрических оболочек, заполненных жидкостью // Прикл. мех. – 2003. – **39**, № 1. – С. 85–94.
9. Боголюбов Н. Н., Митропольский Ю. А. Асимптотические методы в теории нелинейных колебаний. – Москва: Наука, 1974. – 504 с.
10. Вольмир А. С. Нелинейная динамика пластинок и оболочек. – Москва: Наука, 1972. – 432 с.

Институт механики им. С. П. Тимошенко
НАН Украины, Киев

Поступило в редакцию 11.09.2006